

С 344.1 м + Т 344.3 а

ЭКЗ. ЧИТ. ВОЛН

6859 П-305

СООБЩЕНИЯ
ОБЪЕДИНЕННОГО
ИНСТИТУТА
ЯДЕРНЫХ
ИССЛЕДОВАНИЙ

Дубна

921/1-73

P13 - 6859



А.Г.Петров, Ю.А.Щербаков

ЯДЕРНЫХ ПРОЦЕССОВ

МНОГОКАНАЛЬНЫХ СИСТЕМАХ

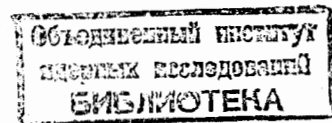
АВТОМАТИЗАЦИЯ ПРОЦЕССОВ
СНЯТИЯ РАБОЧИХ ПАРАМЕТРОВ
СЦИНТИЛЛЯЦИОННЫХ СЧЕТЧИКОВ
В МНОГОКАНАЛЬНЫХ СИСТЕМАХ

1972

P13 - 6859

А.Г.Петров, Ю.А.Щербаков

АВТОМАТИЗАЦИЯ ПРОЦЕССОВ
СНЯТИЯ РАБОЧИХ ПАРАМЕТРОВ
СЦИНТИЛЛЯЦИОННЫХ СЧЕТЧИКОВ
В МНОГОКАНАЛЬНЫХ СИСТЕМАХ



* Пловдивский университет, Пловдив, Болгария

При работе с многоканальными системами на сцинтилляционных счетчиках / гаммоскопами и т.д./, с которыми часто приходится работать в экспериментах на ускорителях, значительная часть времени наладки уходит на снятие рабочих характеристик счетчиков по напряжению и задержке, а также на подбор оптимальных рабочих параметров. Для увеличения надежности подобных систем процесс калибровки повторяется через определенные интервалы, что приводит к дополнительным затратам времени при постановке экспериментов. В последнее время проводятся разработки автоматических систем для снятия рабочих характеристик и подбора оптимальных рабочих параметров. Одна из подобных систем, в которой в качестве показывающего элемента используется дисплей от ЭВМ, описана в¹, однако она целиком собрана на элементах, выпускаемых промышленностью. Отдельный элемент такой системы разработан в ОИЯИ², но он не приспособлен для последовательного снятия характеристик группы сцинтилляционных счетчиков и не решает вопроса об автоматическом снятии рабочих характеристик счетчиков по напряжению.

Представлялось целесообразным разработать систему автоматического контроля работ многоканальной установки из сцинтилляционных счетчиков, используемой как гаммоскоп для запуска стримерной камеры высокого давления³. Необходимым условием являлась возможность работы этой системы с логическими сигналами от стандартных блоков быстрой электроники и использование для накопления и переработки информации анализаторов АИ-4096.

Созданная система обеспечивает возможность полностью автоматизировать процесс снятия кривых задержанных совпадений /КЗС/ и почти полностью - процесс снятия рабочих характеристик по напряжению /плато/ сцинтилляционных счетчиков установки. Вывод информации на анализатор АИ-4096 обеспечивает возмож-

ность подачи информации на ЭВМ. Визуальный контроль производится на экране анализатора. Автоматическое переключение задержки и напряжения осуществляется с помощью блоков программируемого переключения, управляемых генератором ступенчатого напряжения. Время экспозиции задается таймерным устройством. Запись информации на анализатор производится в режиме последовательной записи в каналы, которая осуществляется с помощью сдвига адреса.

1. Принцип действия и описание блок-схемы

На рис. 1 показана блок-схема системы автоматического снятия КЗС и плато счетчиков. Основная идея ее состоит в том, что здесь вводятся блоки программируемого переключения задержки /БППЗ/ и напряжения /БППН/, управляемые генератором ступенчатого напряжения /ГСИ/. С помощью этих блоков автоматически меняется задержка в одном из сравниваемых каналов в режиме снятия КЗС, или напряжение питания измеряемого счетчика в режиме снятия плато.

Рассмотрим сначала режим снятия КЗС. С нажатием кнопки "Старт" в программное устройство подается импульс, с помощью которого через блок задержки БЗ и схему пропускания СП запускается таймер, определяющий время экспозиции. Сформированный импульс с выхода "пуск" таймера включает блок экспозиции СЭ. Таким образом снимается запрещающий сигнал на выходе антисовпадения схемы пропускания ССА, которая начинает работать только в режиме совпадения. Схема формирования СФ преобразует импульсы с выхода ССА в импульсы с определенной длительностью и амплитудой. Импульсы подаются на анализатор по согласованному 100-омному кабелю. Время экспозиции задается положением таймерного переключателя в соответствии с требуемой статистической точностью. По окончании времени экспозиции на выходе "стоп" таймера появляется сформированный импульс, который останавливает прохождение сигналов через ССА с помощью блока экспозиций. Тот же импульс несколько задерживается /2 - 5мсек/ блоком задержки и формирования БЗФ1 и подается на вход "пуск" АИ-4О96, при котором число, записанное на регистре анализатора, заносится в первый канал памяти, и регистр готов принять следующее число. Тот же задержанный импульс сбрасывает таймер

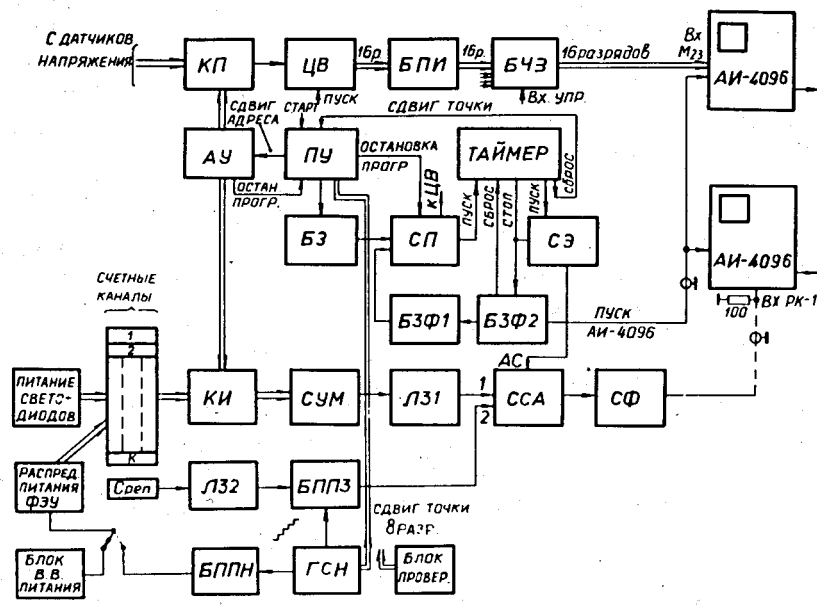


Рис. 1. Блок-схема системы автоматического снятия КЗС и плато сцинтилляционных счетчиков.

и через время задержки, определяемое блоком БЗФ2 /больше 25 мсек/, запускает его, после чего цикл измерения продолжается дальше. В момент сброса с выхода "сброс" таймера подается импульс на программное устройство, которое вырабатывает восьмиразрядный двоично-десятичный код, управляющий генератором ступенчатого напряжения ГСН.

В соответствии с этим кодом в ГСН вырабатывается напряжение, определяющее величину задержки в блоке программируенного переключения задержки БППЗ. С каждым последующим включением таймера меняется код, а с ним и задержка в реперном канале. Номер канала анализатора, в котором происходит запись соответствующего числа импульсов, меняется одновременно с изменением задержки. Максимальное число точек одной КЗС зависит от числа степеней ГСН и составляет 100. Число точек измерения одной КЗС можно задавать с помощью переключателя в ПУ в зависимости от конкретных условий. Шаг задержки составляет 1 нсек. В случае снятия одной КЗС после набора нужного числа точек можно остановить процесс измерения нажатием кнопки "стоп" ПУ и вывести изображение КЗС на экран анализатора. Величину задержки в измеряемом канале можно определить путем сравнения положений центров тяжести реперных кривых /снятых заранее в режиме совпадения/ и измеряемой КЗС по отношению к начальному каналу. При этом задержка в реперном канале должна быть известна заранее. В большинстве случаев интересуются только смещением КЗС от данного положения в течение одного или нескольких сеансов.

В случае последовательного снятия КЗС группы сцинтилляционных счетчиков программа не останавливается. По окончании выбранного числа точек происходит сдвиг адреса с помощью адресного устройства АУ. При этом на выходе сумматора, суммирующего сигналы с импульсных коммутаторов КИ, появляются сигналы от следующего счетчика. После набора определенного числа адресов /в нашем случае до 40/ в адресном устройстве вырабатывается импульс, который останавливает программу измерения и сбрасывает пересчетные декады, находящиеся в адресном и программном устройствах. Программу измерения можно запустить снова нажатием кнопки "старт" в ПУ или путем подачи внешнего импульса на вход ПУ. В этом случае можно увидеть на экране анализатора все снятые КЗС рядом. Первый вариант узла автоматической задержки, выполненный на основе стандартных линий задержек

и электромагнитных переключателей , был описан в работе /4/. Блок управлялся с помощью семиразрядной двоичной пересчетной схемы. Оба варианта работали успешно и с ними было снято значительное число КЗС. Кривые снимались как при использовании светодиодов, установленных на счетчиках, так и в процессе эксперимента на пучке пионов, проходивших через счетчики гадоскопа.

В режиме снятия плато имеются две возможности: снимать одиночное плато счетчиков и плато в режиме совпадений. В первом случае отключается вход 2 схемы ССА, которая остается работать только в режиме антисовпадения. Здесь весь цикл измерения происходит аналогичным образом, но при включенном блоке программируемого переключения напряжения БППН. При подаче ступенчатого напряжения с выхода ГСН на вход этого блока на его выходе появляется ступенчатое напряжение, изменяемое в пределах 1000 - 2500 в.с. величиной ступеньки 16 в. При этом распределитель питания ФЭУ отключается от основных источников высоковольтного питания и подключается к блоку БППН. Этот блок в состоянии питать не больше четырех ФЭУ /при токе делителя 1 ма/. В режиме совпадения вход 2 ССА остается включенным, а сигнал снимается с линии задержки Л32, минуя блок БППЗ. Действие остальной части системы идентично действию в режиме снятия КЗС. Здесь число точек также выбирается в зависимости от конкретных условий.

В блоке ГСН предусмотрен переключатель, которым можно отключить блок от декад программного устройства и подключить его к блоку проверки, с помощью которого можно задавать вручную двоично-десятичный код любого числа от 1 до 100 и тем самым делать проверку разных точек КЗС или плато счетчиков.

Подбор и установку оптимальных рабочих параметров /задержки, напряжения питания/ можно делать после обработки результатов, полученных при снятии КЗС и плато. В тех случаях, когда делается контроль после начальной калибровки, рабочие параметры устанавливаются в соответствии с результатом проверки.

С помощью этой системы /кроме снятия КЗС и плато/ можно делать быстрый контроль счетов всех счетчиков и схем, участвующих в логике эксперимента. В этом случае число точек выбирается небольшим и может составлять 1,4 или 8. На экране анализатора можно увидеть ступенчатую фигуру, дающую представление о соотношении счетов в разных местах. Обработка этих результатов оказывается полезной во время эксперимента,

Другая возможность, которая предусмотрена в системе, это контроль напряжения питания ФЭУ и токов электронных схем в шунтах магнитов в установке /5/ с помощью коммутаторов постоянных напряжений КП и цифрового вольтметра ЦВ. Напряжения можно контролировать в процессе снятия плато счетчиков, при этом точность измерения плато повышается. Результаты измерения выводятся параллельным 16-разрядным двоично-десятичным кодом через блок передачи информации БПИ и посылаются на другой анализатор, работающий в режиме потенциальных входов ⁶. Цифровой вольтметр запускается синхронно с таймером. Предусмотрен блок чередования записи БЧЗ, который дает возможность посылать в тот же анализатор и другие числа, такие, как номер пленки, номер адреса, дату экспозиции и т.д. Вся информация заносится в определенном порядке с последующей расшифровкой.

На рис. 2 показана более подробная блок-схема программного устройства, а на рис. 3 - блок-схема адресного устройства. Можно отметить следующие наиболее важные функции программного устройства:

1. Запуск цикла измерения всей системы, который осуществляется с помощью стартовой схемы при подаче внешнего запускающего сигнала или при нажатии кнопки "старт".

2. Изменение двоично-десятичного кода, управляющего генератором ступенчатого напряжения ГСН при каждом срабатывании таймера. Это осуществляется путем подачи сдвигающего импульса с таймера на трехдекадную пересчетную схему, вырабатывающую двоично-десятичный код. Таким образом, осуществляется сдвиг точки измерения.

3. Сдвиг адреса в адресном устройстве после набора выбранного заранее числа точек измерения в данном канале. Это осуществляется с помощью дешифратора с переключателем.

4. Осуществление сброса всех декад программного устройства после окончания измерения в данном канале /селективный сброс/ и всех декад программного адресного устройства после окончания измерения всех каналов /в данном случае 40/. Эта операция называется "полный сброс". Она сопровождается переводом стартовой схемы в такое состояние, при котором схема пропускания /см. общую блок-схему/ находится в состоянии запрета, и программа измерения останавливается. То же самое происходит при нажатии кнопки "сброс" в схеме сброса.

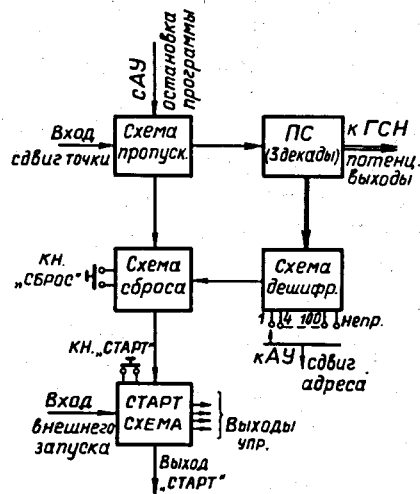


Рис. 2. Блок-схема программного устройства.

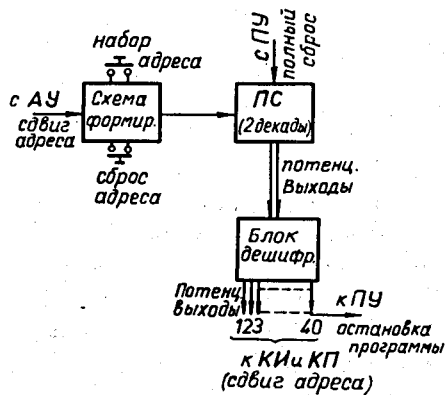


Рис. 3. Блок-схема адресного устройства.

Основная функция адресного устройства - переключение адресов измеряемых каналов, которая осуществляет коммутацию счетных или импульсных каналов и датчиков напряжения. В первой группе переключение адресов производится при помощи импульсных коммутаторов КИ, а во второй группе - при помощи коммутаторов постоянных напряжений КП. И те и другие управляются адресным устройством. Набор и сброс адреса производятся автоматически при подаче соответствующих импульсов или вручную с помощью кнопок. Один из потенциальных выходов дешифратора /в нашем случае 4О-го/ используется для остановки программы измерения.

II. Основные параметры системы и полученные результаты

Ниже перечислены важнейшие параметры системы и полученные результаты:

число каналов дешифратора адресного устройства - 40;

число каналов импульсных коммутаторов - 25;

число каналов коммутаторов постоянных напряжений - 36;

число точек, измеряемых в одном канале, меняется ступенчато и принимает значения: 1,4,8,12,20,24,32,64,100;

время экспозиции одной точки определяется возможностями таймерного устройства;

диапазон изменения времени задержки блока БППЗ - 100 нсек.
Шаг изменения задержки - 1 нсек.

Температурный дрейф задержки - около 0,2 нсек/°С.

Диапазон изменения выходного напряжения блока БППН - 1000 - 2500 в.

Шаг изменения напряжения - 16 в.

Температурный дрейф выходного напряжения ~ 0,7 в/°С.

Максимальное быстродействие блока БППЗ - 5 МГц.

Время, затрачиваемое на измерение одной точки, зависит от времени экспозиции, которое выбирается в соответствии с требуемой точностью и составляет $T_{\text{эксп.}} + 35$ мксек в режиме снятия КЗС и $T_{\text{эксп.}} + 0,2 - 0,5$ /сек в режиме снятия плато /здесь умышленно увеличивается задержка для лучшего установления напряжения питания ФЭУ/. Предельная практическая скорость счета с АИ-4096 составляет 3 - $5 \cdot 10^3$ 1/сек.

Система полностью выполнена в стандарте "Вишня". Параметры всех нестандартных блоков соответствуют принятому стандарту ОИЯИ.

На рис. 4 показаны КЗС, полученные соответственно при использовании светодиода и на пучке пионов, а на рис. 5 - характеристика одиночного счетчика по напряжению /плато/. Система полностью проверена и работает успешно в корпусе синхроциклотрона.

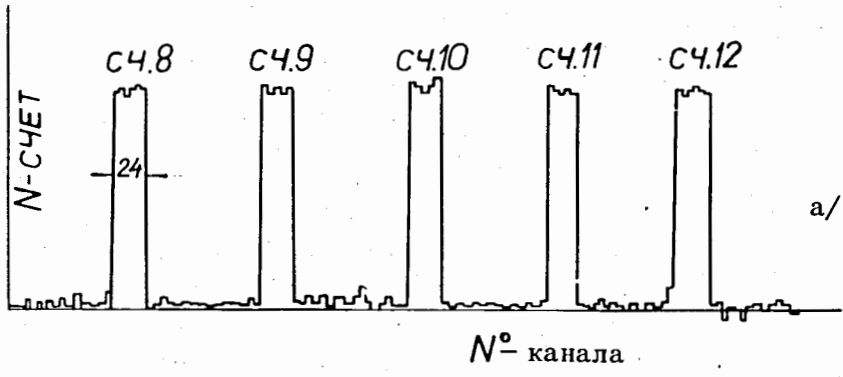
Некоторые принципиальные схемы и параметры нестандартных блоков показаны в работе /4/, где рассматривается более подробно первый вариант системы.

В заключение авторы пользуются случаем поблагодарить А.Н.Синаева и В.Г.Зинова, М.М.Кулюкина за полезные обсуждения, В.И.Ляшенко, И.В.Фаломкина за помощь в работе, В.П.Павлова и Н.В.Лебедева за большую техническую помощь и В.Ф.Поенко и А.И.Токарскую за хороший монтаж.

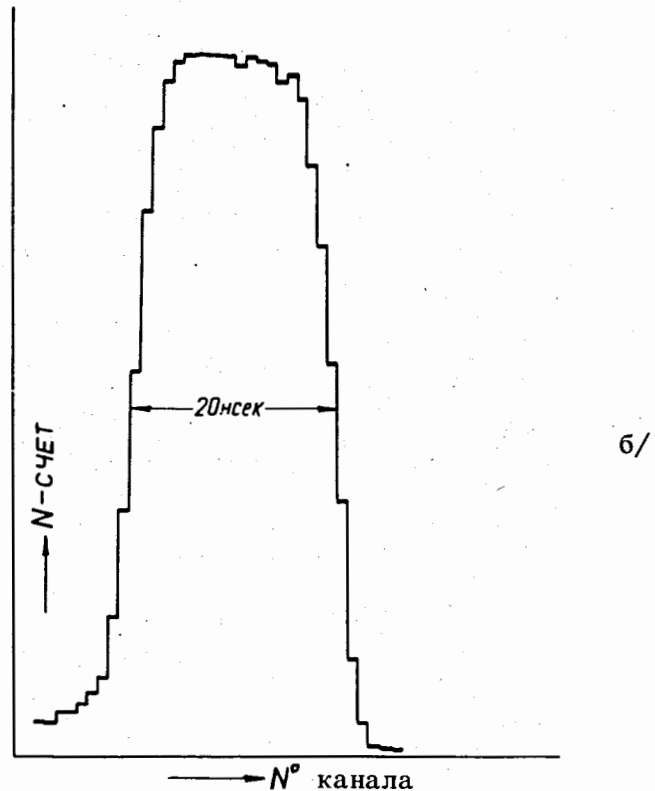
Литература

1. B.Zacharov and A.C.Peatfield. *Automatic Calibration of Experiments. The ACE System. International Conference on Instrumentation for High-Energy Physics. Dubna, USSR, September, 1970.*
2. Б.Ю.Балдин и др. Препринт ОИЯИ 13-6207, Дубна, 1971.
3. I.V.Falomkiv, M.M.Kulyukin, V.I.Lyashenko, A.G.Petrov, G.B.Pontecorvo, Yu.A.Scherbakov. *International Symposium on Nuclear Electronics, Vol. I, Versailles., 1968.*
4. А.Г.Петров, Ю.А.Щербаков. Система за автоматично снимане кривите на задържание съвпадения при сцинтилационни броячи. В кн. "Трудове на ПУ", П.Хилендарски, г.Пловдив.
5. М.М.Кулюкин, В.И.Ляшенко, Ф.Никитин, Г.Пираджино, Д.Б.Понтекорво, Ю.А.Щербаков. Препринт ОИЯИ, Р1-6131, Дубна, 1970.
6. С.В.Медведь, А.Н.Синаев, Г.Ю.Цахер, Н.А.Чистов. Сообщение ОИЯИ 10-5725, Дубна, 1971.

Рукопись поступила в издательский отдел
25 декабря 1972 года.



a/



б/

Рис. 4. Кривые задержанных совпадений: а/ при использовании светодиодов; б/ от пучка пионов.

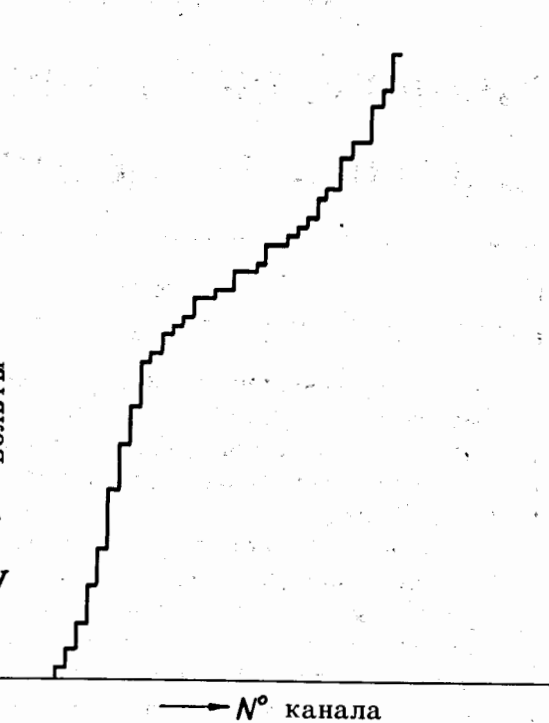


Рис. 5. Плато одиночного счетчика от пучка пионов.